

第二章

确知信号

2.1 信号类型

- 信号通常表示为电压/电流随时间变化的函数 $f(t)$
- 模拟信号和数字信号
- 周期信号和非周期信号
- 确知信号和随机信号
- 能量信号和功率信号

周期信号和非周期信号

- 周期信号: $f(t) = f(t + nT), n = 0, \pm 1, \pm 2 \dots$

■ 如: $f(t) = A \cos(\omega t + \varphi) \quad \omega = \frac{2\pi}{T}$

- 非周期信号: 不具有周期性, 如一个脉冲

确知信号和随机信号

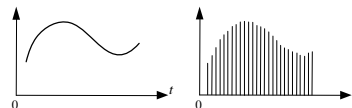
- 确知信号: 可用明确的数学表达式表示
- 随机信号: 具有统计规律性, 符合概率分布

主要内容

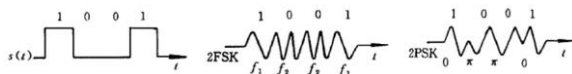
- 信号的分类
- 傅立叶变换及基本性质
- 常用信号及其频谱
- 自相关函数及能量谱/功率谱
- 信号带宽
- 信号通过线性系统

模拟信号和数字信号

- **模拟信号**: 在一定取值范围内, 携带信息的信号参量取值**连续无限**



- **数字信号**: 在一定取值范围内, 携带信息的信号参量取值**离散有限**



$f(t)$ 是实信号

能量信号和功率信号

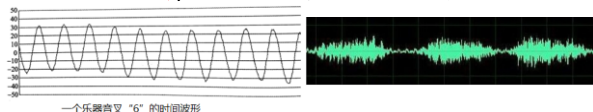
- 在通信系统中, 将信号功率定义为电压/电流在 1Ω 电阻上消耗的功率, 称作**归一化功率**
- 信号能量 $E = \int_{-\infty}^{\infty} f^2(t) dt$
- 信号的平均功率 $P = \lim_{T \rightarrow \infty} \frac{1}{T} \int_{-T/2}^{T/2} f^2(t) dt$
- $\begin{cases} \text{能量有限的信号为能量信号: } 0 < E < \infty, P = 0 \\ \text{功率有限的信号为功率信号: } 0 < P < \infty, E = \infty \end{cases}$

说明

- 实际通信系统中的信号，能量和持续时间都是有限的，严格都属于能量信号
- 使用功率信号是便于数学上定量分析，对时间持续很长的信号，如直流信号、周期信号、随机信号，可近似认为是功率信号

时域和频域

- 时域分析，是以时间作为轴线观察事物的方法



- 频域分析，将时域波形的频率成分总结出来



2.2 确知信号分析

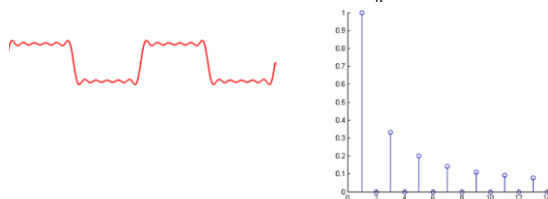
任一信号有两种表示方法

- 时域表示法 $f(t)$: 信号的电压/电流大小随时间的变化，是信号的外在表现形式
- 频域表示法 $F(\omega)$ 或 $F(f)$: 表示信号各频率成份的大小和组成，反映信号的本质结构
- 频域分析将时域看似复杂的问题简化，如通信过程中常用的滤波、频分复用等
- 傅立叶变换实现了时域和频域的转换

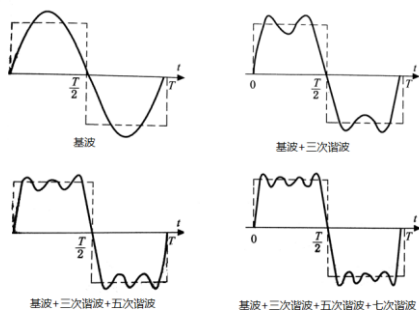
- 任何复杂的时域波形，都可以看作是由不同幅度、不同频率和不同相位组成的正弦波的线性叠加

时域 $f(t)$: 周期矩形波

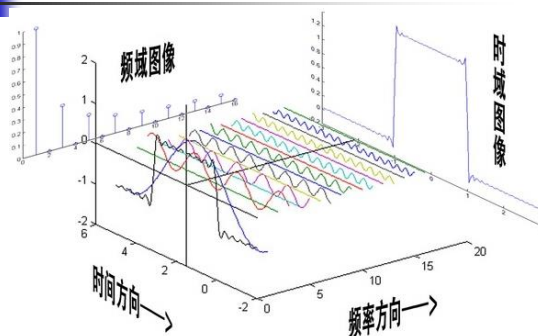
频域 F_n : 所有频率分量



周期矩形波的合成



波形的时域和频域



一. 周期信号傅立叶分析

■ 三角形式的傅立叶级数

$$f(t) = a_0 + \sum_{n=1}^{\infty} (a_n \cos n\omega_0 t + b_n \sin n\omega_0 t), \quad \omega_0 = \frac{2\pi}{T}$$

$$f(t) = \sum_{n=0}^{\infty} c_n \cos(n\omega_0 t + \varphi_n)$$

$$\text{其中: } c_0 = a_0 = \frac{1}{T} \int_{-T/2}^{T/2} f(t) dt, \quad \varphi_0 = 0$$

$$a_n = \frac{2}{T} \int_{-T/2}^{T/2} f(t) \cos n\omega_0 t dt, \quad b_n = \frac{2}{T} \int_{-T/2}^{T/2} f(t) \sin n\omega_0 t dt$$

$$c_n \text{ 振幅: } c_n = \sqrt{a_n^2 + b_n^2}, \quad \varphi_n \text{ 相位: } \varphi_n = \arctg(-\frac{b_n}{a_n})$$

■ 欧拉公式将三角式变换为指数式

$$\begin{cases} e^{j\omega t} = \cos \omega t + j \sin \omega t \\ e^{-j\omega t} = \cos \omega t - j \sin \omega t \\ \cos \omega t = \frac{1}{2} (e^{j\omega t} + e^{-j\omega t}) \\ \sin \omega t = \frac{1}{2j} (e^{j\omega t} - e^{-j\omega t}) \end{cases}$$

$$f(t) = \sum_{n=0}^{\infty} c_n \cos(n\omega_0 t + \varphi_n)$$

$$c_n \cos(n\omega_0 t + \varphi_n) = \frac{c_n}{2} e^{j\varphi_n} \cdot e^{jn\omega_0 t} + \frac{c_n}{2} e^{-j\varphi_n} \cdot e^{-jn\omega_0 t}$$

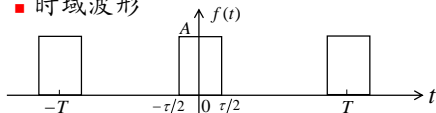
$$\text{令: } F_n = \frac{c_n}{2} e^{j\varphi_n}, \quad F_{-n} = \frac{c_n}{2} e^{-j\varphi_n}, \quad \varphi_{-n} = -\varphi_n$$

$$\text{则: } f(t) = \sum_{n=-\infty}^{\infty} F_n e^{jn\omega_0 t}$$

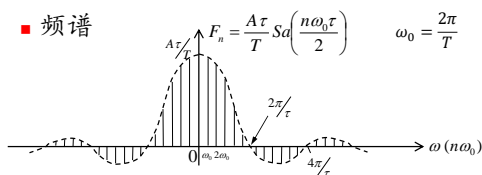
$$\text{抽样函数: } Sa(x) = \frac{\sin(x)}{x}, \quad \text{当 } x \rightarrow 0, Sa(0) = 1$$

■ 例: 周期矩形脉冲信号

■ 时域波形



■ 频谱



■ 指数形式的傅里叶级数

$$f(t) = \sum_{n=-\infty}^{\infty} F_n e^{jn\omega_0 t}, \quad \omega_0 = \frac{2\pi}{T}$$

$$\text{其中: } F_n = \frac{1}{T} \int_{-T/2}^{T/2} f(t) e^{-jn\omega_0 t} dt, \quad n = 0, \pm 1, \pm 2, \dots$$

$$F_n = |F_n| e^{j\varphi_n}, \quad |F_n| = \frac{c_n}{2}: \text{振幅}, \quad \varphi_n: \text{相位}$$

$$|F_n| \sim \omega: \text{幅度谱}, \quad \varphi_n \sim \omega: \text{相位谱}$$

$$\text{周期信号的频谱: } F_n = F(n\omega_0)$$

$$F_n = F(n\omega_0)$$

■ 说明

- 周期信号可展开为不同幅度、频率和相位的正弦信号之和
- 信号 $f(t)$ 包含: 直流分量 C_0 , 基波 ($n=1$), 各次谐波 ($n=2, 3, \dots$)
- 信号 $f(t)$ 的各次谐波的振幅等于 C_n
- 信号 $f(t)$ 的各次谐波的相位等于 φ_n
- 复振幅 $F_n \sim \omega$ 称为周期信号的频谱 (双边谱)

$$\text{抽样函数: } Sa(x) = \frac{\sin(x)}{x}, \quad \text{当 } x \rightarrow 0, Sa(0) = 1$$

■ 解:



$$f(t) = \begin{cases} A & -\frac{\tau}{2} \leq t \leq \frac{\tau}{2} \\ 0 & \text{else} \end{cases}$$

■ 傅立叶级数展开

$$f(t) = \sum_{n=-\infty}^{\infty} F_n e^{jn\omega_0 t}, \quad \omega_0 = \frac{2\pi}{T}$$

$$F_n = \frac{1}{T} \int_{-T/2}^{T/2} f(t) e^{-jn\omega_0 t} dt = \frac{1}{T} \int_{-\tau/2}^{\tau/2} A e^{-jn\omega_0 t} dt$$

$$F_n = \frac{A\tau}{T} Sa\left(\frac{n\omega_0\tau}{2}\right)$$

$$F_n = \frac{c_n}{2} e^{j\varphi_n} \quad F_{-n} = \frac{c_n}{2} e^{-j\varphi_n} \quad \varphi_{-n} = -\varphi_n$$

$$F_n = \frac{A\tau}{T} \text{Sa}\left(\frac{n\omega_0\tau}{2}\right) \quad \frac{n\omega_0\tau}{2} = k\pi (k = \pm 1, \pm 2 \dots)$$

$$\omega = n\omega_0 = \frac{2k\pi}{\tau}$$

■ 关于相位

若 $f(t)$ 实偶, 则 F_n 实偶

$$\therefore F_n = |F_n| e^{j\varphi_n} = \pm |F_n|, \quad \therefore e^{j\varphi_n} = \pm 1$$

$$\therefore e^{j\varphi_n} = \cos \varphi_n + j \sin \varphi_n = \pm 1$$

$$\begin{cases} e^{j\varphi_n} = 1 \Rightarrow \varphi_n = 0, \pm 2\pi \dots \Rightarrow F_n = |F_n| > 0 \\ e^{j\varphi_n} = -1 \Rightarrow \varphi_n = \pm \pi \dots \Rightarrow F_n = -|F_n| < 0 \end{cases}$$

$$f(t) = \sum_{n=0}^{\infty} c_n \cos(n\omega_0 t + \varphi_n) \quad f(t) = \sum_{n=-\infty}^{\infty} F_n e^{jn\omega_0 t}$$

例:

$$\text{周期信号 } f(t) = 3\cos t + \sin\left(5t + \frac{\pi}{6}\right) - 2\cos\left(8t - \frac{2\pi}{3}\right)$$

1. 画出单边幅度谱和相位谱;
2. 画出双边幅度谱和相位谱。

解:

$$\begin{aligned} f(t) &= 3\cos t + \cos\left(5t + \frac{\pi}{6} - \frac{\pi}{2}\right) + 2\cos\left(8t - \frac{2\pi}{3} + \pi\right) \\ &= 3\cos t + \cos\left(5t - \frac{\pi}{3}\right) + 2\cos\left(8t + \frac{\pi}{3}\right) \end{aligned}$$

■ 周期矩形信号频谱特点

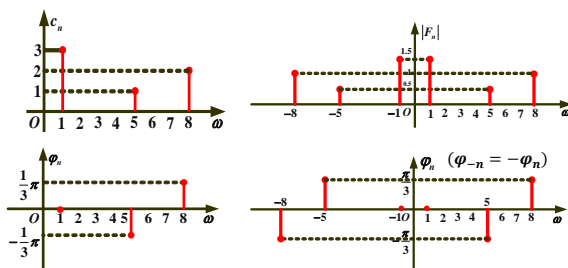
- **离散性**: 周期信号包含无穷多谱线, 谱线间隔为 ω_0
谱线强度与脉冲幅度 A 成正比, 与脉宽 τ 成正比, 谱线间隔与周期 T 成反比 ($\omega_0 = \frac{2\pi}{T}$), 谱线幅度的包络按抽样函数变化
- **谐波性**: 可分解成无穷多频率分量, 各次谐波分量的频率都是基波频率的整数倍 $\omega = n\omega_0$
- **收敛性**: 谱线幅度随谐波频率的增大而衰减, 主要能量集中在第一个过零点内 $\omega = \frac{2\pi}{\tau}$

$$F_n = |F_n| e^{j\varphi_n} = \frac{c_n}{2} e^{j\varphi_n}, \quad F_{-n} = \frac{c_n}{2} e^{-j\varphi_n}, \quad \varphi_{-n} = -\varphi_n$$

$$= 3\cos t + \cos\left(5t - \frac{\pi}{3}\right) + 2\cos\left(8t + \frac{\pi}{3}\right)$$

单边幅度谱和相位谱

双边幅度谱和相位谱



■ 非周期信号傅立叶分析

- 当 $T \rightarrow \infty$, $\omega_0 = \frac{2\pi}{T} \rightarrow 0$
- 离散谱 \rightarrow 连续谱, 频谱 \rightarrow 频谱密度 (单位频带的频谱值)

$$\begin{aligned} F(\omega) &= \lim_{\Delta f \rightarrow 0} \frac{F_n}{\Delta f} = \lim_{\Delta \omega \rightarrow 0} \frac{2\pi}{\Delta \omega} F_n = \lim_{\omega_0 \rightarrow 0} \frac{2\pi}{\omega_0} F(n\omega_0) \\ &= \lim_{\omega_0 \rightarrow 0} \frac{2\pi}{\omega_0} \cdot \frac{1}{T} \int_{-T/2}^{T/2} f(t) e^{-jn\omega_0 t} dt \\ &= \int_{-\infty}^{\infty} f(t) e^{-j\omega t} dt \end{aligned}$$

二. 非周期信号的傅立叶变换

- $F(\omega)$ 称为 $f(t)$ 的频谱密度, 也可称频谱

$$f(t) \leftrightarrow F(\omega)$$

$$F(\omega) = \int_{-\infty}^{\infty} f(t) e^{-j\omega t} dt = |F(\omega)| e^{-j\theta(\omega)}$$

$$f(t) = \frac{1}{2\pi} \int_{-\infty}^{\infty} F(\omega) e^{j\omega t} d\omega$$

$|F(\omega)|$ 为模, 表示幅度谱;

$\theta(\omega)$ 为幅角, 表示相位谱。

$$f(t) = \frac{1}{2\pi} \int_{-\infty}^{\infty} F(2\pi f) e^{j2\pi f t} d2\pi f = \int_{-\infty}^{\infty} F(f) e^{j2\pi f t} df$$

傅立叶变换对

$$f(t) \Leftrightarrow F(\omega) \quad F(\omega) = \int_{-\infty}^{\infty} f(t) e^{-j\omega t} dt$$

$$f(t) = \frac{1}{2\pi} \int_{-\infty}^{\infty} F(\omega) e^{j\omega t} d\omega$$

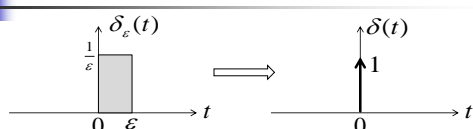
$$f(t) \Leftrightarrow F(f) \quad F(f) = \int_{-\infty}^{\infty} f(t) e^{-j2\pi f t} dt$$

$$\boxed{\omega = 2\pi f} \quad f(t) = \int_{-\infty}^{\infty} F(f) e^{j2\pi f t} df$$

三. 几种重要信号及其频谱

- 单位冲激信号
- 直流信号
- 正弦信号
- 矩形脉冲信号 (门函数)
- 周期性冲激信号
- 周期矩形脉冲信号

单位冲激信号 (δ 函数)



$$\int_{-\infty}^{\infty} \delta_{\epsilon}(t) dt = \int_0^{\epsilon} \frac{1}{\epsilon} dt = 1$$

$$\text{当 } \epsilon > 0, \text{ 且 } \lim_{\epsilon \rightarrow 0} \delta_{\epsilon}(t) = \delta(t)$$

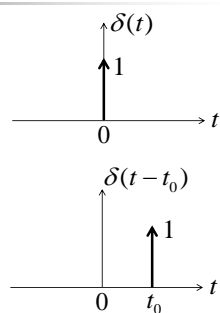
- **物理意义**: 一个高度为无穷大、宽度为无穷小、面积为1的脉冲, 即某一个时间点产生的信号。

δ 函数定义

$$\begin{cases} \int_{-\infty}^{\infty} \delta(t) dt = 1 \\ \delta(t) = \begin{cases} \infty & t = 0 \\ 0 & t \neq 0 \end{cases} \end{cases}$$

且下式也成立:

$$\begin{cases} \int_{-\infty}^{\infty} \delta(t - t_0) dt = 1 \\ \delta(t - t_0) = \begin{cases} \infty & t = t_0 \\ 0 & t \neq t_0 \end{cases} \end{cases}$$



δ 函数筛选性

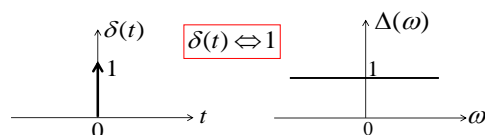
$$\int_{-\infty}^{\infty} \delta(t) f(t) dt = f(0)$$

- 此定义表示, 用 δ 函数作用于 $f(t)$, 结果是将 $f(t)$ 这 $t=0$ 时刻的值筛选出来

$$\text{■ 同理: } \int_{-\infty}^{\infty} \delta(t - t_0) f(t) dt = f(t_0)$$

δ 函数频谱

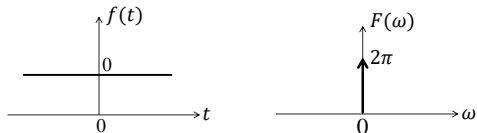
$$\Delta(\omega) = \int_{-\infty}^{\infty} \delta(t) e^{-j\omega t} dt = e^{-j\omega t} \Big|_{t=0} = 1$$



- **物理意义**: $\delta(t)$ 在整个频域范围内频谱均匀分布
- δ 函数是一个抽象函数, 物理不可实现, 在数学分析中有意义

直流信号

$$1 \Leftrightarrow 2\pi\delta(\omega)$$



- 证: $\mathcal{F}^{-1}[2\pi\delta(\omega)] = \frac{1}{2\pi} \int_{-\infty}^{+\infty} 2\pi\delta(\omega)e^{j\omega t}d\omega = \int_{-\infty}^{+\infty} \delta(\omega)e^{j\omega t}d\omega = e^{j\omega t}|_{\omega=0} = 1$
- 物理意义:** 直流信号在频域表示零频率处的一个冲激, 面积(强度)为 2π

正弦信号

$$\begin{cases} \cos \omega_0 t \Leftrightarrow \pi[\delta(\omega + \omega_0) + \delta(\omega - \omega_0)] \\ \sin \omega_0 t \Leftrightarrow j\pi[\delta(\omega + \omega_0) - \delta(\omega - \omega_0)] \end{cases}$$

证:

$$\mathcal{F}[\cos \omega_0 t] = \mathcal{F}\left[\frac{1}{2}(e^{j\omega_0 t} + e^{-j\omega_0 t})\right] = \frac{1}{2}[2\pi\delta(\omega - \omega_0) + 2\pi\delta(\omega + \omega_0)] = \pi[\delta(\omega - \omega_0) + \delta(\omega + \omega_0)]$$

$$\begin{aligned} \mathcal{F}[\sin \omega_0 t] &= \mathcal{F}\left[\frac{1}{2j}(e^{j\omega_0 t} - e^{-j\omega_0 t})\right] \\ &= \frac{1}{2j}[2\pi\delta(\omega - \omega_0) - 2\pi\delta(\omega + \omega_0)] \\ &= -\frac{j}{2}[2\pi\delta(\omega - \omega_0) - 2\pi\delta(\omega + \omega_0)] = j\pi[\delta(\omega + \omega_0) - \delta(\omega - \omega_0)] \end{aligned}$$

$$\sin \omega t = \frac{e^{j\omega t} - e^{-j\omega t}}{2j}$$

矩形脉冲信号 (门函数)

$$g_\tau(t) \Leftrightarrow A\tau \cdot \text{Sa}\left(\frac{\omega\tau}{2}\right)$$

$$\text{证: } g_\tau(t) = \begin{cases} A & |t| \leq \frac{\tau}{2} \\ 0 & |t| > \frac{\tau}{2} \end{cases}$$

$$\begin{aligned} G(\omega) &= \int_{-\infty}^{+\infty} g_\tau(t)e^{-j\omega t}dt = \int_{-\frac{\tau}{2}}^{\frac{\tau}{2}} Ae^{-j\omega t}dt \\ &= \frac{A}{-j\omega}(e^{-j\omega\frac{\tau}{2}} - e^{j\omega\frac{\tau}{2}}) = \frac{A\tau \cdot \sin \frac{\omega\tau}{2}}{\omega\frac{\tau}{2}} = A\tau \cdot \text{Sa}\left(\frac{\omega\tau}{2}\right) \end{aligned}$$

$$\int_{-\infty}^{\infty} \delta(t - t_0)f(t)dt = f(t_0)$$

虚指数函数

$$\begin{cases} e^{j\omega_0 t} \Leftrightarrow 2\pi\delta(\omega - \omega_0) \\ e^{-j\omega_0 t} \Leftrightarrow 2\pi\delta(\omega + \omega_0) \end{cases}$$

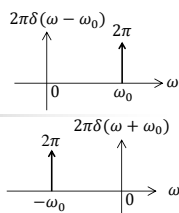
证:

$$\begin{aligned} \mathcal{F}^{-1}[2\pi\delta(\omega - \omega_0)] &= \frac{1}{2\pi} \int_{-\infty}^{+\infty} 2\pi\delta(\omega - \omega_0)e^{j\omega t}d\omega \\ &= \int_{-\infty}^{+\infty} \delta(\omega - \omega_0)e^{j\omega t}d\omega = e^{j\omega t}|_{\omega=\omega_0} = e^{j\omega_0 t} \end{aligned}$$

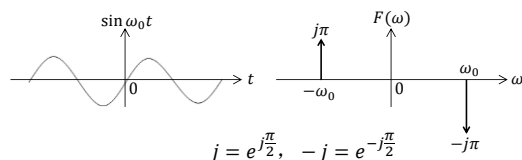
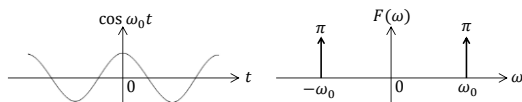
欧拉公式

$$\cos \omega_0 t = \frac{1}{2}(e^{j\omega_0 t} + e^{-j\omega_0 t})$$

单频正弦波在数学上可分解出两个更小的分量



$$\begin{cases} \cos \omega_0 t \Leftrightarrow \pi[\delta(\omega + \omega_0) + \delta(\omega - \omega_0)] \\ \sin \omega_0 t \Leftrightarrow j\pi[\delta(\omega + \omega_0) - \delta(\omega - \omega_0)] \end{cases}$$



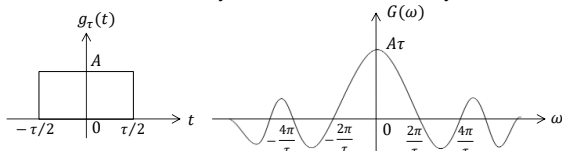
$$j = e^{j\frac{\pi}{2}}, \quad -j = e^{-j\frac{\pi}{2}}$$

矩形脉冲信号 (门函数)

$$g_\tau(t) \Leftrightarrow A\tau \cdot \text{Sa}\left(\frac{\omega\tau}{2}\right)$$

$$\text{过零点: } \frac{\omega\tau}{2} = k\pi \quad (k = \pm 1, \pm 2, \dots)$$

$$\omega = \frac{2k\pi}{\tau} \quad \text{则第一个过零点为 } \frac{2\pi}{\tau}$$



物理意义

能量集中在第一个过零点内, 脉冲 τ 越窄, 频谱能量分布越分散

信号	$f(t)$	$F(\omega)$
单位冲激信号	$\delta(t)$	1
	$\delta(t-t_0)$	$e^{-j\omega t_0}$
虚指数信号	$e^{j\omega_0 t}$	$2\pi\delta(\omega-\omega_0)$
	$e^{-j\omega_0 t}$	$2\pi\delta(\omega+\omega_0)$
直流信号	1	$2\pi\delta(\omega)$
正弦信号	$\cos \omega_0 t$	$\pi[\delta(\omega+\omega_0)+\delta(\omega-\omega_0)]$
	$\sin \omega_0 t$	$j\pi[\delta(\omega+\omega_0)-\delta(\omega-\omega_0)]$

信号	$f(t)$	$F(\omega)$
门函数	$g_\tau(t)$	$A\tau S_a(\frac{\omega\tau}{2})$
周期性冲激函数	$\delta_T(t)$	$\omega_0 \sum_n \delta(\omega-n\omega_0)$
周期矩形脉冲	$\sum_n g(t-nT)$	$A\tau\omega_0 \sum_n S_a(\frac{n\omega_0\tau}{2})\delta(\omega-n\omega_0)$

注：抽样函数 $Sa(x) = \frac{\sin x}{x}$

$$F(\omega) = \mathcal{F}[f_T(t)] = \mathcal{F}\left[\sum_{n=-\infty}^{\infty} F_n e^{jn\omega_0 t}\right] = \sum_{n=-\infty}^{\infty} F_n \mathcal{F}[e^{jn\omega_0 t}]$$

$$= \sum_{n=-\infty}^{\infty} F_n \cdot 2\pi\delta(\omega - n\omega_0)$$

- 周期信号可用傅立叶级数展开求出频谱，也可以用傅立叶变换分析频谱密度

$f_T(t)$ 信号周期为 T ，傅里叶级数：

$$f_T(t) = \sum_{n=-\infty}^{\infty} F_n e^{jn\omega_0 t}$$

$$F(\omega) = 2\pi \sum_{n=-\infty}^{\infty} F_n \delta(\omega - n\omega_0)$$

$$F_n = F(n\omega_0)$$

例：周期冲激信号

$$\delta_T(t) \Leftrightarrow \omega_0 \sum_{n=-\infty}^{\infty} \delta(\omega - n\omega_0) \quad \text{含直流和各次谐波分量}$$

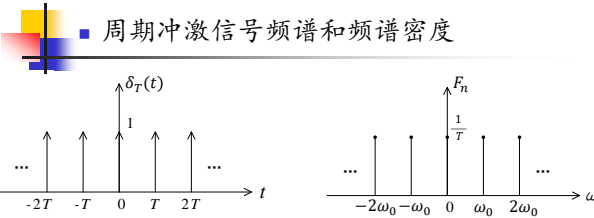
$$\delta_T(t) = \sum_{n=-\infty}^{\infty} \delta(t - nT) = \sum_{n=-\infty}^{\infty} F_n \cdot e^{jn\omega_0 t}$$

$$F_n = \frac{1}{T} \int_{-T/2}^{T/2} \delta_T(t) e^{-jn\omega_0 t} dt = \frac{1}{T} \int_{-T/2}^{T/2} \delta(t) e^{-jn\omega_0 t} dt$$

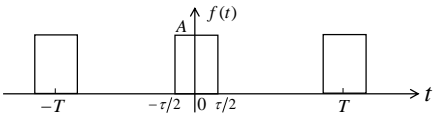
$$= \frac{1}{T} \quad (n = 0, \pm 1, \pm 2 \dots)$$

$$F(\omega) = 2\pi \sum_n F_n \delta(\omega - n\omega_0) = \frac{2\pi}{T} \sum_n \delta(\omega - n\omega_0) = \omega_0 \sum_n \delta(\omega - n\omega_0)$$

周期冲激信号频谱和频谱密度



例：周期矩形脉冲信号

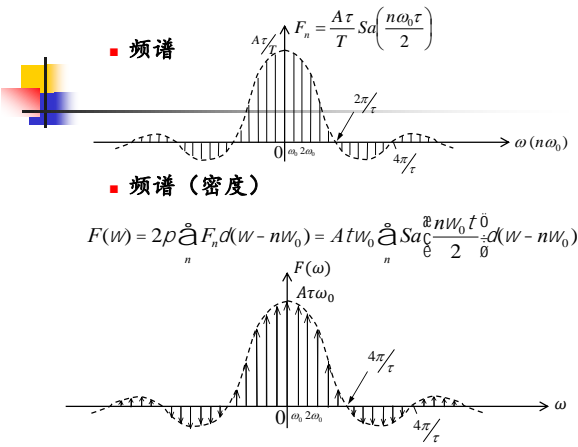


周期信号傅立叶级数展开求频谱

$$f(t) = \sum_{n=-\infty}^{\infty} F_n e^{jn\omega_0 t} = \sum_{n=-\infty}^{\infty} F_n e^{jn\frac{2\pi}{T}t} \quad F_n = \frac{A\tau}{T} Sa\left(\frac{n\omega_0\tau}{2}\right)$$

周期信号傅立叶变换求频谱密度

$$F(\omega) = 2\pi \sum_n F_n \delta(\omega - n\omega_0) = A\tau\omega_0 \sum_n Sa\left(\frac{n\omega_0\tau}{2}\right) \delta(\omega - n\omega_0)$$



关于频谱：

周期信号

- 傅立叶级数→**频谱**
 - 纵坐标表示该频率正弦波的幅度
- 傅立叶变换→**频谱密度**
 - 密度是冲激函数，冲激的面积称作冲激强度，表示正弦波幅度

非周期信号

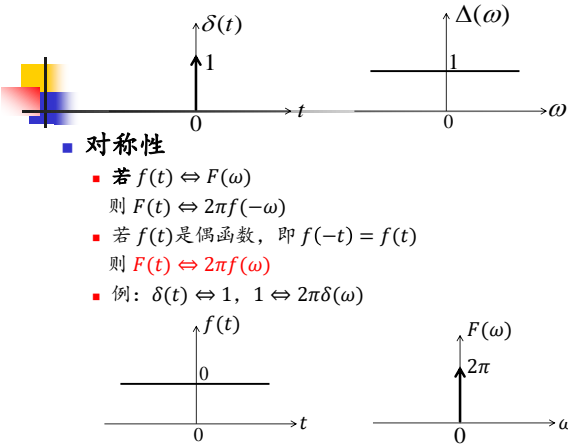
- 傅立叶变换→**频谱密度**
 - 纵坐标表示某频率的密度，但研究某一点密度无意义，故研究该频率附近一小段密度的积分，则面积表示幅度

四. 傅立叶变换的性质

- 线性（叠加性）
- 对称性
- 时移特性（延迟性）
- 频移特性（调制定理）
- 比例性（尺度变换特性）
- 微分特性
- 积分特性
- 卷积性

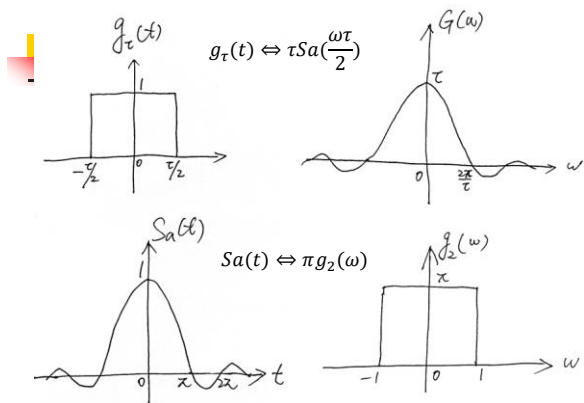
若 $f(t) \Leftrightarrow F(\omega)$

性质	时间函数	频谱函数
线性	$\sum_{i=1}^N a_i f_i(t)$	$\sum_{i=1}^N a_i F_i(\omega)$
对称性	$F(t)$	$2\pi f(-\omega)$
时移特性	$f(t - t_0)$	$F(\omega)e^{-j\omega t_0}$
频移特性	$f(t)e^{j\omega_0 t}$	$F(\omega - \omega_0)$
比例性	$f(at) \quad a \neq 0$	$\frac{1}{ a } F\left(\frac{\omega}{a}\right)$
微分特性	$\frac{df(t)}{dt}$	$j\omega \cdot F(\omega)$
积分特性	$\int_{-\infty}^t f(\tau) d\tau$	$\frac{1}{j\omega} F(\omega) + \pi F(0)\delta(\omega)$



■ 例：求 $Sa(t) = \frac{\sin t}{t}$ 的频谱

- 解：设门函数 $g_\tau(t)$
已知 $g_\tau(t) \Leftrightarrow \tau \text{Sa}\left(\frac{\omega\tau}{2}\right)$
取 $\tau = 2$ ，则： $g_2(t) \Leftrightarrow 2\text{Sa}(\omega)$
利用线性： $\frac{1}{2}g_2(t) \Leftrightarrow \text{Sa}(\omega)$
再利用对称性： $F(t) \Leftrightarrow 2\pi f(\omega)$
则： $Sa(t) \Leftrightarrow \frac{1}{2} \cdot 2\pi g_2(\omega)$
即： $Sa(t) \Leftrightarrow \pi g_2(\omega)$



■ 时移特性 (延迟性)

- $f(t - t_0) \Leftrightarrow F(\omega)e^{-j\omega t_0}$
- 例: $\delta(t - t_0) \Leftrightarrow e^{-j\omega t_0}$

■ 证:

$$\because f(t) \Leftrightarrow F(\omega)$$

$$f(t) = \frac{1}{2\pi} \int_{-\infty}^{\infty} F(\omega) e^{j\omega t} d\omega$$

$$f(t - t_0) = \frac{1}{2\pi} \int_{-\infty}^{\infty} F(\omega) e^{j\omega(t-t_0)} d\omega$$

$$f(t - t_0) = \frac{1}{2\pi} \int_{-\infty}^{\infty} F(\omega) e^{-j\omega t_0} \cdot e^{j\omega t} d\omega$$

$$\therefore \mathcal{F}[f(t - t_0)] = F(\omega) e^{-j\omega t_0}$$

$$\cos\omega_0 t = \frac{1}{2}(e^{j\omega_0 t} + e^{-j\omega_0 t})$$

$$\sin\omega_0 t = \frac{1}{2j}(e^{j\omega_0 t} - e^{-j\omega_0 t})$$

$$\mathcal{F}[f(t)e^{j\omega_0 t}] = \int_{-\infty}^{\infty} f(t)e^{j\omega_0 t} \cdot e^{-j\omega t} dt$$

$$= \int_{-\infty}^{\infty} f(t)e^{-j(\omega - \omega_0)t} dt$$

$$= F(\omega - \omega_0)$$

■ 频移特性

- 若 $f(t) \Leftrightarrow F(\omega)$

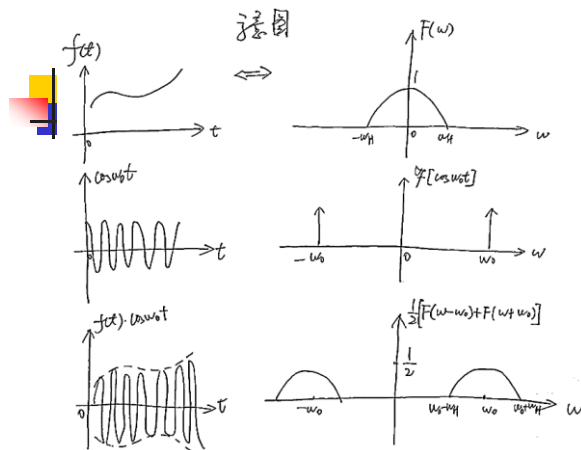
- 则 $f(t)e^{j\omega_0 t} \Leftrightarrow F(\omega - \omega_0)$

$$f(t)e^{-j\omega_0 t} \Leftrightarrow F(\omega + \omega_0)$$

- 调制定理

$$f(t)\cos\omega_0 t \Leftrightarrow \frac{1}{2}[F(\omega - \omega_0) + F(\omega + \omega_0)]$$

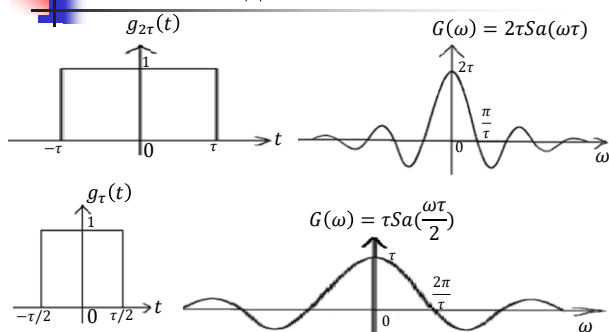
$$f(t)\sin\omega_0 t \Leftrightarrow \frac{j}{2}[F(\omega + \omega_0) - F(\omega - \omega_0)]$$



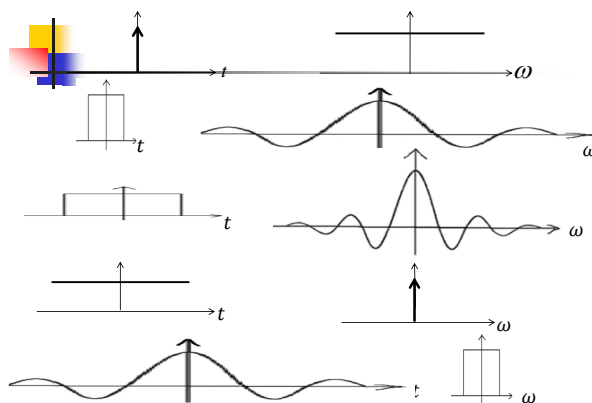
■ 比例性 (尺度变换特性)

- 若 $f(t) \Leftrightarrow F(\omega)$

$$\text{则 } f(at) \Leftrightarrow \frac{1}{|a|} F\left(\frac{\omega}{a}\right) \quad a \neq 0$$



- 信号失真, 有噪声影响, 也有信道带宽受限的原因



$$f(t) = \int_{-\infty}^{\infty} f(\tau) \delta(t - \tau) d\tau = f(t) * \delta(t)$$

卷积

- 定义: $f_1(t) * f_2(t) = \int_{-\infty}^{\infty} f_1(\tau) f_2(t - \tau) d\tau$
- 时域卷积定理, 应用于信号通过线性系统的计算
- 频域卷积定理, 应用于信号抽样、调制的频谱搬移等

$$f_1(t) \cdot f_2(t) \Leftrightarrow \frac{1}{2\pi} [F_1(\omega) * F_2(\omega)]$$

- 与δ函数卷积: $f(t) * \delta(t) = f(t)$
 $f(t) * \delta(t - t_0) = f(t - t_0)$
 $F(\omega) * \delta(\omega - \omega_0) = F(\omega - \omega_0)$

$$f(t) = \sum_{n=-\infty}^{\infty} F_n e^{jn\omega_0 t}$$

两个周期信号相乘和频谱的关系

$$f(t) = e^{j2\omega_0 t} + 5e^{j\omega_0 t} + 6 \quad F_n: [1, 5, 6]$$

$$g(t) = 3e^{j\omega_0 t} + 2 \quad G_n: [3, 2]$$

- 周期信号的频谱是傅里叶级数的系数 F_n
 $f(t) \cdot g(t) = 3e^{j3\omega_0 t} + 17e^{j2\omega_0 t} + 28e^{j\omega_0 t} + 12$
 $[3, 17, 28, 12] = [1, 5, 6] * [3, 2] = F_n * G_n$
- 信号时域相乘对应频域做卷积
 $f(t) \cdot g(t) \Leftrightarrow F_n * G_n$
 $f_1(t) \cdot f_2(t) \Leftrightarrow F_1(\omega) * F_2(\omega)$

例: 两个多项式相乘

$$f(x) = x^2 + 5x + 6$$

$$g(x) = 3x + 2$$

$$f(x) \cdot g(x) = (x^2 + 5x + 6)(3x + 2)$$

$$= 3x^3 + 15x^2 + 18x + 2x^2 + 10x + 12$$

$$= 3x^3 + 17x^2 + 28x + 12$$

翻转、平移、相乘、叠加 \Rightarrow 卷积

$$\begin{array}{r} 6 + 5x + x^2 \\ 3x + 2 \\ \hline 3x^3 \end{array}$$

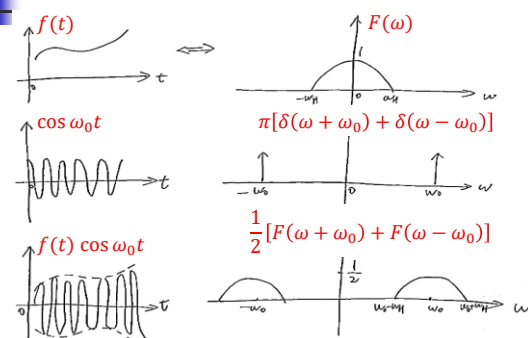
$$\begin{array}{r} 6 + 5x + x^2 \\ 3x + 2 \\ \hline 15x^2 + 2x^2 = 17x^2 \end{array}$$

$$\begin{array}{r} 6 + 5x + x^2 \\ 3x + 2 \\ \hline 18x + 10x = 28x \end{array}$$

$$\begin{array}{r} 6 + 5x + x^2 \\ 3x + 2 \\ \hline 12 \end{array}$$

$$f(t) \cdot \cos \omega_0 t \Leftrightarrow \frac{1}{2\pi} F(\omega) * \pi [\delta(\omega + \omega_0) + \delta(\omega - \omega_0)]$$

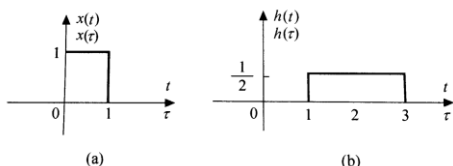
频域卷积的应用——调制



$$f_1(t) * f_2(t) = \int_{-\infty}^{\infty} f_1(\tau) f_2(t - \tau) d\tau$$

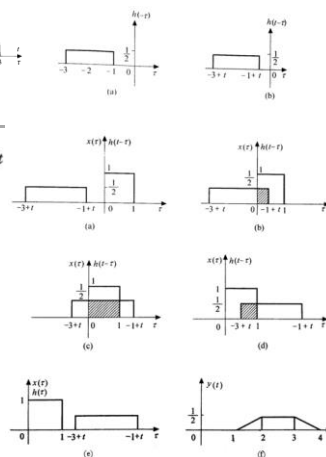
卷积的运算*

- 卷积的计算过程是将其中一个函数翻转并平移后, 与另一个函数乘积的积分, 是一个对平移量计算的函数
- 例: $y(t) = x(t) * h(t) = \int_{-\infty}^t x(\tau) h(t - \tau) d\tau$



卷积运算步骤

- ① 换元: 将 $x(t)$ 和 $h(t)$ 中的变量 t 更换为变量 τ ;
- ② 折叠: 作出 $h(\tau)$ 相对于纵轴的镜像 $h(-\tau)$;
- ③ 位移: 把 $h(-\tau)$ 平移一个 t 值;
- ④ 相乘: 将位移后的函数 $h(-\tau)$ 乘以 $x(\tau)$;
- ⑤ 积分: $h(t - \tau)$ 和 $x(\tau)$ 乘积曲线下的面积即为 t 时刻的卷积值。



微分和积分

微分特性	$\frac{df(t)}{dt}$	$j\omega \cdot F(\omega)$
积分特性	$\int_{-\infty}^t f(\tau) d\tau$	$\frac{1}{j\omega} F(\omega) + \pi F(0) \delta(\omega)$

$f(t)$
 $F(\omega)$

微分器
 $j\omega$

$\frac{df(t)}{dt}$
 $j\omega \cdot F(\omega)$

$f(t)$
 $F(\omega)$

积分器
 $1/j\omega$

$\int f(t) dt$
 $\frac{1}{j\omega} \cdot F(\omega)$

练习:

求下列信号的频谱

$$f(t) = \begin{cases} 1 + \cos t & |t| \leq \pi \\ 0 & |t| > \pi \end{cases}$$

提示: 门函数 $G_\tau(t)$ 表示幅度为1, 脉宽为 τ ; 可表示 $1 + \cos t$ 与门函数相乘

解法1: 利用欧拉公式, 傅氏变换的频移特性

解法2: 利用频域卷积定理, δ 函数卷积运算

五. 能量谱 (密度)、功率谱 (密度) 及自相关函数

- 确知信号 → 频谱、能量谱和功率谱
- 随机信号 → 功率谱
- 能量信号的能量谱
- 功率信号的功率谱
- 相关函数和谱密度的关系

1. 能量谱 (密度)

实能量信号 $f(t)$ 的能量

$$E = \int_{-\infty}^{\infty} f^2(t) dt = \frac{1}{2\pi} \int_{-\infty}^{\infty} |F(\omega)|^2 d\omega$$

—— Parseval 定理

定义: 能量谱密度 $E(\omega) = |F(\omega)|^2$

$$\text{总能量 } E = \frac{1}{2\pi} \int_{-\infty}^{\infty} E(\omega) d\omega = \int_{-\infty}^{\infty} E(f) df$$

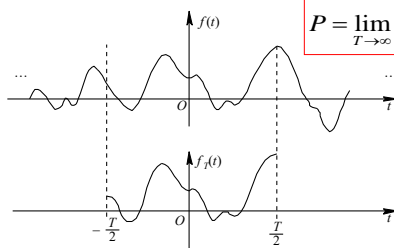
证:

$$\begin{aligned} E &= \int_{-\infty}^{+\infty} f^2(t) dt = \int_{-\infty}^{+\infty} f(t) \left[\frac{1}{2\pi} \int_{-\infty}^{+\infty} F(\omega) e^{j\omega t} d\omega \right] dt \\ &= \frac{1}{2\pi} \int_{-\infty}^{+\infty} F(\omega) \left[\int_{-\infty}^{+\infty} f(t) e^{j\omega t} dt \right] d\omega \\ &= \frac{1}{2\pi} \int_{-\infty}^{+\infty} F(\omega) \cdot F(-\omega) d\omega \\ \because f(t) \text{ 是实信号} \quad \therefore F(-\omega) &= F^*(\omega) \\ &= \frac{1}{2\pi} \int_{-\infty}^{+\infty} F(\omega) \cdot F^*(\omega) d\omega \\ &= \frac{1}{2\pi} \int_{-\infty}^{+\infty} |F(\omega)|^2 d\omega \end{aligned}$$

2. 功率谱 (密度)

实功率信号 $f(t)$ 的平均功率

$$P = \lim_{T \rightarrow \infty} \frac{1}{T} \int_{-T/2}^{T/2} f^2(t) dt$$



$$f_T(t) = \begin{cases} f(t) & |t| \leq \frac{T}{2} \\ 0 & \text{else} \end{cases}$$

- 设截短信号为 $f_T(t)$, 能量为 E_T , 则Parseval等式:

$$f_T(t) = \begin{cases} f(t) & |t| \leq \frac{T}{2} \\ 0 & \text{else} \end{cases}$$

$$E_T = \int_{-\infty}^{\infty} f_T^2(t) dt = \frac{1}{2\pi} \int_{-\infty}^{\infty} |F_T(\omega)|^2 d\omega$$

- 平均功率的频域表示:

$$P = \frac{1}{2\pi} \int_{-\infty}^{\infty} \lim_{T \rightarrow \infty} \frac{|F_T(\omega)|^2}{T} d\omega$$

■ 证:

$$E_T = \int_{-\infty}^{+\infty} f_T^2(t) dt = \frac{1}{2\pi} \int_{-\infty}^{+\infty} |F_T(\omega)|^2 d\omega$$

$$\int_{-T/2}^{+T/2} f^2(t) dt = \frac{1}{2\pi} \int_{-\infty}^{+\infty} |F_T(\omega)|^2 d\omega$$

$$\lim_{T \rightarrow \infty} \frac{1}{T} \left[\int_{-T/2}^{+T/2} f^2(t) dt \right] = \lim_{T \rightarrow \infty} \frac{1}{T} \left[\frac{1}{2\pi} \int_{-\infty}^{+\infty} |F_T(\omega)|^2 d\omega \right]$$

$$P = \frac{1}{2\pi} \int_{-\infty}^{+\infty} \lim_{T \rightarrow \infty} \frac{|F_T(\omega)|^2}{T} d\omega$$

$$= \frac{1}{2\pi} \int_{-\infty}^{+\infty} P(\omega) d\omega$$

$$P = \lim_{T \rightarrow \infty} \frac{1}{T} \int_{-T/2}^{T/2} f^2(t) dt = \frac{1}{2\pi} \int_{-\infty}^{\infty} \lim_{T \rightarrow \infty} \frac{|F_T(\omega)|^2}{T} d\omega$$

- 定义 **功率谱密度**

$$P(\omega) = \lim_{T \rightarrow \infty} \frac{|F_T(\omega)|^2}{T}$$

- 平均功率

$$P = \frac{1}{2\pi} \int_{-\infty}^{\infty} P(\omega) d\omega = \int_{-\infty}^{\infty} P(f) df$$

- 周期信号的功率谱

$$\text{■ 平均功率 } P = \frac{1}{T} \int_{-T/2}^{T/2} f^2(t) dt = \sum_{n=-\infty}^{\infty} |F_n|^2$$

—— 频域表示了各次谐波分量的功率之和

- 功率谱密度

$$P(\omega) = 2\pi \sum_{n=-\infty}^{\infty} |F_n|^2 \delta(\omega - n\omega_0)$$

$$F(\omega) = 2\pi \sum_{n=-\infty}^{\infty} F_n \delta(\omega - n\omega_0)$$

■ 证:

$$\int_{-\infty}^{\infty} \delta(t - t_0) f(t) dt = f(t_0)$$

$$P = \frac{1}{2\pi} \int_{-\infty}^{\infty} P(\omega) d\omega$$

$$P = \frac{1}{T} \int_{-T/2}^{T/2} f^2(t) dt = \frac{1}{T} \int_{-T/2}^{T/2} f(t) \left[\sum_{n=-\infty}^{+\infty} F_n e^{jn\omega_0 t} \right] dt$$

$$= \sum_{n=-\infty}^{+\infty} F_n \left[\frac{1}{T} \int_{-T/2}^{T/2} f(t) e^{jn\omega_0 t} dt \right]$$

∵ $f(t)$ 是实信号

∴ $F_{-n} = F_n^*$

$$= \sum_{n=-\infty}^{+\infty} F_n \cdot F_{-n} = \sum_{n=-\infty}^{+\infty} |F_n|^2$$

$$P = \sum_{n=-\infty}^{+\infty} |F_n|^2 = \sum_{n=-\infty}^{\infty} \int_{-\infty}^{\infty} |F_n|^2 \delta(\omega - n\omega_0) d\omega$$

$$= \int_{-\infty}^{\infty} \sum_{n=-\infty}^{\infty} |F_n|^2 \delta(\omega - n\omega_0) d\omega$$

3. 自相关函数

- 定义

$$\text{■ 实能量信号 } R(\tau) = \int_{-\infty}^{\infty} f(t) f(t+\tau) dt \quad -\infty < \tau < \infty$$

$$\text{■ 实功率信号 } R(\tau) = \lim_{T \rightarrow \infty} \frac{1}{T} \int_{-T/2}^{T/2} f(t) f(t+\tau) dt \quad -\infty < \tau < \infty$$

$$\text{周期信号 } R(\tau) = \frac{1}{T} \int_{-T/2}^{T/2} f(t) f(t+\tau) dt \quad -\infty < \tau < \infty$$

- 性质

■ 自相关是偶函数: $R(\tau) = R(-\tau)$

■ 自相关在原点有最大值: $R(\tau) \leq R(0)$

相关定理

- **能量信号**的自相关函数与能量谱密度互为付氏变换

$$R(\tau) \Leftrightarrow E(\omega) = |F(\omega)|^2$$

$$\left(R(\tau) = \frac{1}{2\pi} \int_{-\infty}^{\infty} E(\omega) e^{j\omega\tau} d\omega \right)$$

当 $\tau=0$ 时, $R(0) = \frac{1}{2\pi} \int_{-\infty}^{\infty} E(\omega) d\omega = E$, 即信号能量

- **功率信号**的自相关函数与功率谱密度互为付氏变换

$$R(\tau) \Leftrightarrow P(\omega)$$

$$\left(R(\tau) = \frac{1}{2\pi} \int_{-\infty}^{\infty} P(\omega) e^{j\omega\tau} d\omega \right)$$

平均功率: $P = R(0) = \frac{1}{2\pi} \int_{-\infty}^{\infty} P(\omega) d\omega$

- 证: 设 $f(t)$ 是能量信号, 且 $f(t) \Leftrightarrow F(\omega)$, 则:

$$\begin{aligned} R(\tau) &= \int_{-\infty}^{+\infty} f(t)f(t+\tau)dt \\ &= \int_{-\infty}^{+\infty} f(t) \left[\frac{1}{2\pi} \int_{-\infty}^{+\infty} F(\omega)e^{j\omega(t+\tau)}d\omega \right] dt \\ &= \frac{1}{2\pi} \int_{-\infty}^{+\infty} \left[\int_{-\infty}^{+\infty} f(t)e^{j\omega t}dt \right] \cdot F(\omega)e^{j\omega\tau}d\omega \\ &= \frac{1}{2\pi} \int_{-\infty}^{+\infty} F^*(\omega) \cdot F(\omega)e^{j\omega\tau}d\omega \\ &= \frac{1}{2\pi} \int_{-\infty}^{+\infty} |F(\omega)|^2 \cdot e^{j\omega\tau}d\omega \end{aligned}$$

- 例: 求周期信号 $f(t) = A \cos \omega_0 t$ 的功率谱

- 方法1: 直接利用周期信号功率谱公式

$$P(\omega) = 2\pi \sum_{n=-\infty}^{\infty} |F_n|^2 \delta(\omega - n\omega_0) \quad |F_n| = \frac{A}{2} \quad (n = \pm 1)$$

- 方法2: 先求自相关函数, 再由付氏变换求功率谱

$$R(\tau) = \frac{1}{T} \int_{-T/2}^{T/2} f(t)f(t+\tau)dt = \frac{A^2}{2} \cos \omega_0 \tau$$

$$R(\tau) \Leftrightarrow P(\omega)$$

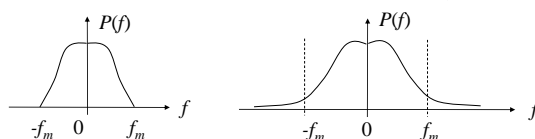
$$P(\omega) = \frac{\pi A^2}{2} [\delta(\omega + \omega_0) + \delta(\omega - \omega_0)]$$

六. 信号带宽

- 信号的能量或功率主要部分集中的频率范围, 只按**正频率**计算, 记作 B , 单位 Hz
- 常见的定义信号带宽的方法 (以基带信号为例)
 - 主要能量带宽
 - 等效矩形带宽
 - 3dB带宽
 - 主瓣带宽

1. 主要能量带宽

以占总能量(功率)的百分比确定带宽



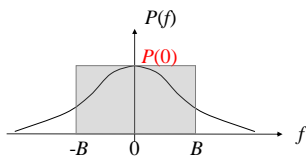
频带有限的信号, 信号带宽 $B = f_m$

频带无限的信号, 带内能量占总能量的 $x\%$

列出 $\frac{\int_{-f_m}^{f_m} P(f)df}{\int_{-\infty}^{\infty} P(f)df} = 90\%$, 求出 f_m , 信号带宽 $B = f_m$

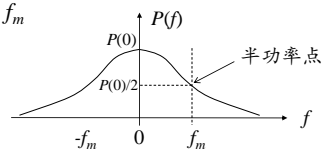
2. 等效矩形带宽

- 设能量谱（功率谱）在0频点有最大值 $P(0)$
- 求满足 $\int_{-\infty}^{\infty} P(f)df = 2B \cdot P(0)$ 的 B
- 信号带宽为 B



3. 3dB带宽

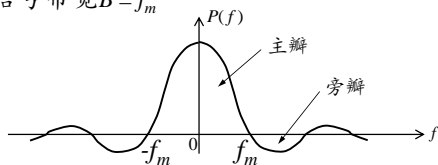
- 信号能量谱（功率谱）下降到最大处的1/2处所对应的频率区间
 - 设能量谱（功率谱）在0频率点为最大值
 - 求满足 $P(f_m) = P(0)/2$ 的 f_m
 - 信号带宽 $B = f_m$



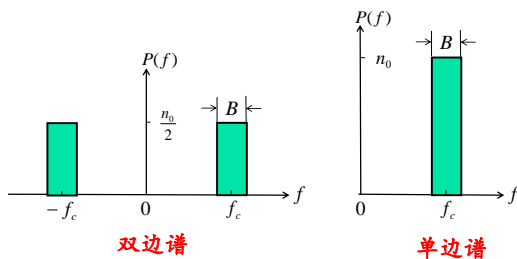
4. 主瓣带宽

$$B \propto \frac{1}{\tau}$$

- 某些信号的能量谱（功率谱）具有主瓣和旁瓣的特点，且主要能量集中在主瓣内
- 用主瓣的宽度表示信号带宽
- 信号带宽 $B = f_m$



- 例：已知信号功率谱，求信号平均功率



七. 信号通过线性系统

■ 线性时不变系统

- 线性：满足叠加定理

若： $x_i(t) \rightarrow y_i(t)$,

则： $\sum_i a_i x_i(t) \rightarrow \sum_i a_i y_i(t)$

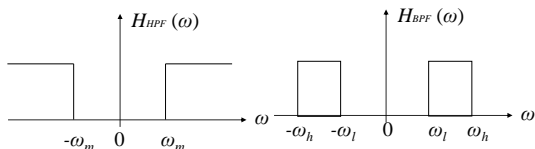
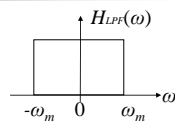
- 时不变：系统特性不随时间变化

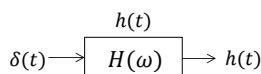
若： $x_i(t) \rightarrow y_i(t)$,

则： $x_i(t - \tau) \rightarrow y_i(t - \tau)$

典型的线性系统——理想滤波器

- 理想低通滤波器LPF
- 理想高通滤波器HPF
- 理想带通滤波器BPF



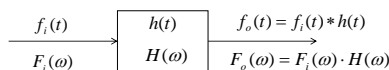


■ 系统特性-传递函数

- 输入冲激函数 $\delta(t)$ 称作系统的**激励**，通过系统后的输出 $h(t)$ 叫作**响应**，即满足：

$$h(t) = \delta(t) * h(t)$$

- $h(t)$ 称为单位冲激响应， $H(\omega)$ 称作**传递函数**，表示系统的传输特性，即：



- 若输入 $F_i(\omega)$ ，输出 $F_o(\omega)$ ，则：

$$F_o(\omega) = F_i(\omega) \cdot H(\omega)$$

- **系统传递函数**

$$H(\omega) = \frac{F_o(\omega)}{F_i(\omega)} = |H(\omega)| e^{j\varphi(\omega)}$$

$$|H(\omega)| \sim \omega \quad \text{系统幅频特性}$$

$$\varphi(\omega) \sim \omega \quad \text{系统相频特性}$$

■ 信号通过线性系统的运算*

- 任何信号均可看作是时延单位冲激信号的加权和，设信号为 $x(t)$ ，则表示各个 τ 时刻冲激的幅度之和：

$$x(t) = \int_{-\infty}^{\infty} x(\tau) \delta(t - \tau) d\tau = x(t) * \delta(t)$$

- 单位冲激响应： $\delta(t) * h(t) = h(t)$

各个 τ 时刻的单位冲激响应： $\delta(t - \tau_i) * h(t) = h(t - \tau_i)$

- 利用叠加定理： $x(t)$ 的响应是各个 τ 时刻的响应之和

$$y(t) = \int_{-\infty}^{\infty} x(\tau) h(t - \tau) d\tau = x(t) * h(t)$$

- 利用时域卷积定理： $Y(\omega) = X(\omega) \cdot H(\omega)$

■ 时域卷积定理证明

$$y(t) = x(t) * h(t) = \int_{-\infty}^{\infty} x(\tau) h(t - \tau) d\tau$$

$$Y(\omega) = X(\omega) \cdot H(\omega)$$

$$\begin{aligned} Y(\omega) &= \mathcal{F}[y(t)] = \int_{-\infty}^{\infty} y(t) e^{-j\omega t} dt \\ &= \mathcal{F}[x(t) * h(t)] = \int_{-\infty}^{\infty} \left[\int_{-\infty}^{\infty} x(\tau) h(t - \tau) d\tau \right] e^{-j\omega t} dt \\ &= \int_{-\infty}^{\infty} x(\tau) \left[\int_{-\infty}^{\infty} h(t - \tau) e^{-j\omega t} dt \right] d\tau \\ &= \int_{-\infty}^{\infty} x(\tau) [H(\omega) e^{-j\omega \tau}] d\tau \\ &= H(\omega) \int_{-\infty}^{\infty} x(\tau) e^{-j\omega \tau} d\tau \\ &= H(\omega) \cdot X(\omega) \end{aligned}$$

$$E_o(\omega) = |F_o(\omega)|^2 = |H(\omega) \cdot F_i(\omega)|^2 = |H(\omega)|^2 \cdot |F_i(\omega)|^2$$

■ 响应的能量谱和功率谱

■ 能量信号

若激励 $f_i(t)$ 是能量信号，则响应 $f_o(t)$ 也是能量信号，能量谱为： $E_o(\omega) = |H(\omega)|^2 \cdot E_i(\omega)$

■ 功率信号

若激励 $f_i(t)$ 是功率信号，则响应 $f_o(t)$ 也是功率信号，功率谱为： $P_o(\omega) = |H(\omega)|^2 \cdot P_i(\omega)$

$$F_o(\omega) = k \cdot e^{-j\omega t_d} F_i(\omega)$$

$$= H(\omega) F_i(\omega)$$

■ 无失真传输

$$\text{■ 时域条件 } f_o(t) = k \cdot f_i(t - t_d)$$

$$\text{■ 频域条件 } H(\omega) = k \cdot e^{-j\omega t_d} = |H(\omega)| e^{j\varphi(\omega)}$$

$$\text{幅频特性: } |H(\omega)| = k$$

$$\text{相频特性: } \varphi(\omega) = -t_d \omega$$

$$\text{群时延 } \tau = -\frac{d\varphi(\omega)}{d\omega} = t_d$$

- 理想系统的幅频特性是常数，相频特性是过原点的一条直线；非理想时可产生线性失真

本章小结

- 傅立叶变换的性质
- 常用几种信号的时域和频域分析
- 计算信号能量/功率的方法
 - 通过能量谱/功率谱
 - 通过自相关函数
- 信号带宽的概念
- 信号通过线性系统时域频域变化
- 系统无失真传输的条件

传输衰减与增益

- 信号经过系统后，信号变强称为**增益**
 - 信号经过系统后，信号变弱称为**衰减**
 - 增益 = -衰减
- $$\text{功率增益} = 10 \lg \frac{P_o}{P_i}$$
- $$\text{电压增益} = 20 \lg \frac{V_o}{V_i}$$
- $$\text{电流增益} = 20 \lg \frac{I_o}{I_i}$$
- 通信系统中一般使用**功率增益**，单位dB

作业

- 阅读教材第二章内容
- 习题：3、5（自相关函数及其波形、信号能量）、9
- 补充题1：已知： $f(t) \Leftrightarrow F(\omega)$
求： $f(6-2t)$ 的傅里叶变换
- 补充题2：求下列信号的频谱
$$f(t) = \begin{cases} 1 + \cos t & |t| \leq \pi \\ 0 & |t| > \pi \end{cases}$$

提示：门函数 $G_\tau(t)$ 表示幅度为1，脉宽为 τ